

Józef Lewandowski

**AKUSTYCZNE METODY
BADANIA STRUKTURY
NIEJEDNORODNYCH CIAŁ STAŁYCH**

18/1976

WARSZAWA 1976

Praca wpłynęła do Redakcji dnia 23 marca 1976 r.

Zarejestrowana pod nr 18/1976



N a p r a w a c h r ę k o p i s u

Instytut Podstawowych Problemów Techniki PAN

Nakład 150 egz. Ark. wyd. 0,6. Ark. druk. 1,5

Oddano do drukarni w marcu 1976 r.

Nr zamówienia

256/0/76

Warszawska Drukarnia Naukowa, Warszawa,
ul. Śniadeckich 8

Józef Lewandowski

Pracownia Technologii i Struktur Materiałowych
Instytutu Podstawowych Problemów Techniki PAN

AKUSTYCZNE METODY BADANIA STRUKTURY
NIEJEDNORODNYCH CIAŁ STAŁYCH

1. W s t ę p

W związku z prowadzonymi od roku w Pracowni Technologii i Struktur Materiałowych badaniami nad strukturą i własnościami ceramiki /porcelany/ elektrotechnicznej stało się celowe opracowanie metody pozwalającej wnosić - na podstawie pomiarów prędkości i tłumienia dźwięku - o strukturze badanej próbki tego materiału i jego własnościach sprężystych. Niniejsza praca zawiera dwie propozycje takiej metody.

Zadanie opracowania akustycznej metody wyznaczania koncentracji niejednorodności w ciele stałym i ich wpływ na własności sprężyste było już wcześniej podejmowane przez niektórych autorów /por. (1) /. Metody zaproponowane w niniejszej pracy różnią się jednak w sposób zasadniczy od metod wspomnianych poprzednio autorów. Autorzy ci na podstawie rozważań o charakterze statycznym starali się określić współzależność pomiędzy parametrami charakteryzującymi niejednorodność struktury ciała stałego i jego własności sprężyste a prędkością fazową fali akustycznej. W niniejszej pracy zależność pomiędzy tymi samymi parametrami i wielkościami fizycznymi znajduje się na podstawie rozważań o charakterze dynamicznym rozpatrując proces rozchodzenia się fali ultradźwiękowej w niejednorodnym ciele stałym łącznie z procesem jej rozpraszania na niejednorodnościach.

Punktem wyjścia niniejszej pracy jest wykorzystanie formalnej analogii w matematycznym opisie procesu rozchodzenia się fal sprężystych w ciele stałym i w płynie, traktowanych jako ośrodki ciągłe. W obu wypadkach pole fali sprężystej można bowiem przedstawić w postaci sumy bezwirowego pola fal podłużnych i bezźródłowego pola fal poprzecznych, przy czym w obu przypadkach oba te pola opisuje się takimi samymi równaniami różniczkowymi liniowymi typu Helmholtza z tą tylko różnicą, że stałe współczynniki /składowe wektora propagacji/ występujące w tych równaniach są w przypadku ciała stałego określone innymi wzorami niż w przypadku płynu. Na możliwość wykorzystania tej formalnej analogii zwrócił już uwagę K.F. Herzfeld (2), (3) tworząc jednolitą teorię opisującą rozchodzenie płaskiej fali akustycznej w zawieszinie kulistych cząstek zarówno cieczy jak i ciała stałego, zawieszonych w cieczy. W niniejszej pracy przedstawimy propozycje dalszego wykorzystania tej formalnej analogii, a mianowicie dokonamy adaptacji dwóch metod stosowanych w teoretycznej akustyce zawieszin i emulsji do układu dwufazowego, jaki stanowi ciało stałe ze sferycznymi niejednorodnościami, wypełnionymi innym ciałem stałym, płynem lub pustką.

W punkcie 2 niniejszej pracy podamy adaptację do przypadku niejednorodnego ciała stałego metody stosowanej przez R.J. Uricka i W.S. Amenta (4) przy obliczaniu prędkości fazowej i współczynnika tłumienia fali płaskiej w zawieszinie kulistych cząstek sztywnych w cieczy lepkiej. Zajmiemy się początkowo ogólnym przypadkiem niejednorodnego ciała stałego traktowanego jako ośrodek, w którym zachodzi dyssypacja energii mechanicznej i podamy metodę pozwalającą obliczyć prędkość fazową i współczynnik tłumienia fali w tym ośrodku, jeżeli znamy wektory propagacji fali podłużnej /podłużnika/ i poprzecznej /poprzecznika/ w fazie rozproszonej i w fazie dominującej objętościowo. Metoda ta może być również stosowana zarówno w przypadku, gdy niejednorodnościami są sferyczne pustki, jak i w przypadkach, gdy obie fazy /dominującą objętościowo i rozproszoną/ lub jedną tylko z tych dwóch faz traktujemy jako materiał bezstratny. W końcowej części punktu 2 niniejszej pracy podamy również adaptację do przypadku

niejednorodnego ciała stałego - traktowanego jako ośrodek bezstratny - metody stosowanej przez K.F. Herzfelda (3) przy obliczaniu prędkości fazowej fali płaskiej w zawieszinach kulistych cząstek cieczy i ciała stałego, zawieszonych w cieczy.

W punkcie 3 niniejszej pracy przeprowadzono obliczenia numeryczne dla modelu porcelany elektrotechnicznej w postaci bezstratnego ciała stałego zawierającego sferyczne pustki, zajmujące niewielki ułamek b objętości badanego ciała. Obliczenia te wykonano dla szerokiego przedziału wartości współczynnika Poissona ν , zawierającego wartości interesujące ze względu na zastosowania techniczne $0.15 \leq \nu \leq 0.30$, metodą podaną w pracy (1) oraz dwoma metodami zaproponowanymi w niniejszej pracy i porównano uzyskane rezultaty. Dla $b \lesssim 0,1$ uzyskujemy dobrą zgodność wyników otrzymanych trzema wspomnianymi metodami.

2. Propagacja fal sprężystych w niejednorodnym ciele stałym.

Rozpatrywać będziemy niejednorodne ciało stałe ze sferycznymi izotropowymi niejednorodnościami. O niejednorodnościach tych zakładamy, że ich łączna objętość V_R /objętość fazy rozproszonej/ jest dużo mniejsza od całkowitej objętości V badanego ośrodka niejednorodnego, tj.

$$/2.1/ \quad b = \frac{V_R}{V} \ll 1.$$

$V - V_R$ jest objętością fazy dominującej objętościowo, o której zakładamy, że jest jednorodnym i izotropowym sprężystym ciałem stałym o stałych Lamego λ_1 , μ_1 i gęstości ρ_1 . Wartość liczbową promieni R sferycznych niejednorodności traktujemy jako zmienną losową, której gęstość rozkładu prawdopodobieństwa $g(R)$ jest z założenia znana, przy czym

$$/2.2/ \quad g(R) = \frac{N(R)}{N},$$

gdzie $N(R)$ jest liczbą sferycznych niejednorodności o promieniu R w jednostce objętości, natomiast N wyraża się wzorem

$$12.3/ \quad N = \int_0^{\infty} N(R) dR.$$

Ułamek objętości b zajętej przez fazę rozproszoną możemy teraz wyrazić wzorem

$$12.4/ \quad b = \frac{4}{3} \pi N \bar{R}^3$$

gdzie

$$12.5/ \quad \bar{R}^3 = \int_0^{\infty} R^3 g(R) dR$$

Zakładamy ponadto, że w najogólniejszym przypadku w materiale zarówno fazy dominującej objętościowo jak i fazy rozproszonej, jeżeli nie jest nią pustka, może zachodzić dyssypacja energii mechanicznej. O fazie rozproszonej zakładamy ponadto, że znamy jej gęstość ρ_2 oraz współczynniki Lamego λ_2 i μ_2 w przypadku gdy jest sprężystym ciałem stałym, lub współczynniki lepkości η i ξ (6) w przypadku, gdy fazą rozproszoną jest płyn lepki.

Rozpatrywane przez nas akustyczne fale sprężyste są płaskimi falami harmonicznymi, w najogólniejszym przypadku tłumionymi, rozchodzącymi się w rozważanym ośrodku niejednorodnym w dodatnim kierunku osi z . Przemieszczenia związane z taką falą sprężystą dane są wzorami

$$12.6/ \quad \vec{S}_L = \vec{S}_L e^{i\omega t}$$

oraz

$$12.7/ \quad \vec{S}_t = \vec{S}_t e^{i\omega t},$$

odpowiednio dla składowej podłużnej /podłużnika/ i poprzecznej /poprzecznika/ rozpatrywanej fali. ω jest częstotliwością kołową, t oznacza czas, e jest podstawą logarytmów naturalnych, natomiast \vec{S}_L i \vec{S}_t określone są wzorami:

$$12.8/ \quad \vec{S}_L = -\vec{\nabla} \Psi_L,$$

$$/2.9/ \quad \vec{s}_t = \vec{\nabla} \times \vec{\Pi}_t.$$

Potencjały skalarny Ψ_L składowej fali podłużnej i wektory $\vec{\Pi}_t$ składowej fali poprzecznej spełniają odpowiednio równania

$$/2.10/ \quad \Delta \Psi_L + k^2 \Psi_L = 0,$$

$$/2.11/ \quad \Delta (\vec{\nabla} \times \vec{\Pi}_t) + K^2 (\vec{\nabla} \times \vec{\Pi}_t) = 0,$$

gdzie k i K są modułami wektorów propagacji odpowiednio dla podłużnika i poprzecznika w badanym niejednorodnym ciele stałym. Rozchodzącą się w badanym ośrodku niejednorodnym falę płaską traktujemy jako wypadkową fali pierwotnej /padającej/ i fal rozproszonych na niejednorodnościach. Zakładamy przy tym, że odległości wzajemne pomiędzy każdymi dwoma sąsiednimi sferami rozpraszającymi są bardzo duże w porównaniu z długością fali. Zakładamy również rozproszenie pojedyncze, tj. zakładamy, że fala padająca rozprasza się tylko na jednej z napotkanych na swej drodze niejednorodności. O fali padającej zakładamy, że jest to płaska fala podłużna rozchodząca się w kierunku dodatnim osi z o jednostkowej amplitudzie przemieszczenia \vec{s}_L . O płaskiej fali padającej zakładamy zatem, że jest ona określona równaniem

$$/2.12/ \quad \vec{s}_L = \vec{s}_L e^{i\omega t},$$

gdzie

$$/2.13/ \quad \vec{s}_L = \vec{z}_0 e^{ik_2 z}$$

lub

$$/2.14/ \quad \vec{s}_L = -\vec{\nabla} \Psi_L,$$

$$/2.15/ \quad \Psi_L = \varphi_0 e^{ik_2 z},$$

gdzie

$$/2.16/ \quad \varphi_0 = \frac{k_1}{k_2}$$

\vec{z}_0 jest wektorem w kierunku dodatnim osi z .

Tak sformułowane modele ośrodka niejednorodnego i rozchodzącej się w nim płaskiej fali sprężystej pozwalają nam znaleźć związek pomiędzy modułem k wektora propagacji fali podłużnej w niejednorodnym ciele stałym a modułami k_i oraz K_i , $i = 1, 2$, wektorów propagacji odpowiednio podłużnika oraz poprzecznika w fazie dominującej objętościowo $/i = 1/$ i w fazie rozproszoney $/i = 2/$.

Aby znaleźć wspomniany związek, rozpatrzmy najpierw falę płaską /2.15/ rozchodzącą się w nieograniczonym ośrodku jednorodnym takim samym jak faza dominująca objętościowo badanego ośrodka niejednorodnego. Prędkość fazową płaskiej fali podłużnej w tym ośrodku /tj. w fazie dominującej objętościowo/ będziemy oznaczali przez c_1 . W tym nieograniczonym ośrodku jednorodnym jest umieszczona nieograniczona płyta /rys.1/ jednorodna o gęstości ρ_x i impedancji akustycznej

$\rho_x c_x$. Rozpatrywana fala o potencjale /2.15/ pada na tę płytę w kierunku normalnym do jej powierzchni /płaszczyzny $z=0$ /. Materiał płyty tak dobrano, aby współczynniki odbicia od powierzchni rozgraniczającej dwa ośrodki był mały, tj. aby spełnione były nierówności

$$/2.17a/ \quad R_{I/II} = \left(\frac{\rho_2 c_2 - \rho_x c_x}{\rho_2 c_2 + \rho_x c_x} \right)^2 = \frac{|\varphi_2|^2}{|\varphi_0|^2} \ll 1,$$

$$/2.17b/ \quad R_{II/III} = \left(\frac{\rho_2 c_2 - \rho_x c_x}{\rho_2 c_2 + \rho_x c_x} \right)^2 = \frac{|\varphi_{(-)}|^2}{|\varphi_{(+)}|^2} \ll 1,$$

gdzie φ_2 i $\varphi_{(-)}$ są amplitudami potencjałów $\Psi_I^{(-)}$ i $\Psi_{II}^{(-)}$ fal odbitych odpowiednio w płaszczyźnie $z = 0$ i $z = a$ /rys.1/, natomiast φ_0 i $\varphi_{(+)}$ są amplitudami potencjałów Ψ_L i $\Psi_{II}^{(+)}$ fal padających odpowiednio na płaszczyznę $z = 0$ i $z = a$.

Amplitudę potencjału $\Psi_{II}^{(+)}$ fali po przejściu przez płytkę oznaczamy przez φ_3 . Potencjał Ψ_L dany jest wzorami /2.15/ i /2.16/, natomiast pozostałe z wyżej wymienionych potencjałów dane są następującymi wzorami

$$/2.18a/ \quad \Psi_{II}^{(-)} = \varphi_2 e^{-ik_x z},$$

$$/2.18b/ \quad \Psi_{II}^{(+)} = \varphi_{(+)} e^{ik_x z},$$

$$/2.18c/ \quad \Psi_{II}^{(-)} = \varphi_{(-)} e^{-ik_x z},$$

$$/2.18d/ \quad \Psi_{II}^{(+)} = \varphi_3 e^{ik_x z}.$$

k_x jest modułem wektora propagacji fali podłużnej w ośrodku II /rys. 1/. O grubości a płytki zakładamy, że jest ona dostatecznie mała, aby były spełnione nierówności:

$$/2.19a/ \quad |k_x a| \ll 1,$$

$$/2.19b/ \quad |k_y a| \ll 1.$$

Z warunków ciągłości potencjałów i ich pochodnych normalnych na powierzchniach rozgraniczających dwa ośrodki /płaszczyzny $z = 0$ i $z = a$ / otrzymujemy po wykorzystaniu /2.19a/ i /2.19b/ następujące związki:

$$/2.20a/ \quad \varphi_0 + \varphi_2 + ik_x a \frac{\varepsilon_x k_x}{\varepsilon_2 k_x} (\varphi_0 - \varphi_2) = \varphi_3 (1 + ik_x a),$$

$$/2.20b/ \quad \varphi_0 - \varphi_2 + ik_x a \frac{\varepsilon_2 k_x}{\varepsilon_x k_x} (\varphi_0 + \varphi_2) = \varphi_3 (1 + ik_x a).$$

Stąd po wykorzystaniu /2.16/ i /2.17a/ otrzymujemy

$$/2.21/ \left(\frac{k_x}{k_2}\right)^2 a^2 = (\varphi_3 + \varphi_3 i k_2 a - \varphi_0 - \varphi_2) (\varphi_3 + \varphi_3 i k_2 a - \varphi_0 + \varphi_2).$$

Dokonyjmy teraz w opisywanym przez nas eksperymencie myślowym następnego kroku: płytę jednorodną zastąpmy płytą wykonaną z badanego przez nas niejednorodnego ciała stałego, przy czym grubość tej płyty została tak dobrana, że nierówności /2.19a/, /2.19b/ pozostają nadal słuszne. Z teorii rozpraszania (2), (4), (5) wynika, że wypadkowy potencjał fal rozproszonych w punktach D i -D /rys.1/, tj. fal rozproszonych w kierunku wstecz i w przód w stosunku do kierunku fali padającej wyraża się odpowiednio wzorem:

$$/2.22a/ \Phi_{(+D)} = a \int N(R) \sum_{n=0}^{\infty} C_n(R, k_2, K_1, k_2, K_2) dR \int_{-\infty}^{+\infty} h_n^{(1)}(k_2 r) P_n(\cos \theta) dx dy \Big|_{z=D},$$

$$/2.22b/ \Phi_{(-D)} = a \int N(R) \sum_{n=0}^{\infty} C_n(R, k_2, K_1, k_2, K_2) dR \int_{-\infty}^{+\infty} h_n^{(2)}(k_2 r) P_n(\cos \theta) dx dy \Big|_{z=-D}.$$

$P_n(\cos \theta)$ oznacza wielomian Legendre'a n-tego rzędu, $h_n^{(1,2)}(k_2 r)$ jest funkcją sferyczną Hankela pierwszego rodzaju n-tego rzędu, natomiast współczynniki podłużnej fali rozproszonej $C_n(R, k_2, K_2, k_2, K_2)$ są w najogólniejszym przypadku dane wzorami /23/, /26a/ w pracy (5). Ponieważ (4) dla $r = (x^2 + y^2 + z^2)^{1/2}$, $\cos \theta = \frac{z}{r}$

$$/2.23/ \int_{-\infty}^{+\infty} h_n^{(1,2)}(k_2 r) P_n(\cos \theta) dx dy = \begin{cases} \frac{2\pi}{k_2} (-i)^n e^{i k_2 z} & , \text{gdzie } z = D, \\ \frac{2\pi}{k_2} (i)^n e^{-i k_2 z} & , \text{gdzie } z = -D, \end{cases}$$

zatem

$$/2.24/ \Phi_{(+D)} = a \varphi_{(+D)} e^{i k_2 D},$$

$$/2.25/ \Phi_{(-D)} = a \varphi_{(-D)} e^{-i k_2 D},$$

gdzie amplitudy $\Phi_{(+D)}$ i $\Phi_{(-D)}$ przypadkowych potencjałów fal podłużnych rozproszonych na niejednorodnościach płytki w kierunku w przód i wstecz wyrażają się odpowiednio wzorami:

$$/2.26/ \quad \Phi_{(+D)} = \frac{2\pi}{k_1^2} \int_0^{\infty} N(R) \sum_{n=0}^{\infty} (-i)^n C_n(R, k_1, K_1, k_2, K_2) dR,$$

$$/2.27/ \quad \Phi_{(-D)} = \frac{2\pi}{k_1^2} \int_0^{\infty} N(R) \sum_{n=0}^{\infty} (i)^n C_n(R, k_1, K_1, k_2, K_2) dR.$$

Definiujemy teraz moduł wektora propagacji k rozważanego przez nas ośrodka niejednorodnego w taki sposób, aby związek /2.21/ pozostał słuszny dla płytki ośrodka niejednorodnego, jeśli połączymy w /2.21/:

$$/2.28/ \quad \varphi_2 = \Phi_{(-D)} a,$$

$$/2.29/ \quad \varphi_3 = \varphi_0 + \Phi_{(+D)} a,$$

$$/2.30/ \quad k_x = k.$$

Otrzymujemy w ten sposób

$$/2.31/ \quad \left(\frac{k}{k_1}\right)^2 = \left[\varphi_0 i k_1 + \Phi_{(+D)} (1 + i k_1 a) - \Phi_{(-D)} \right] \left[\varphi_0 i k_1 + \Phi_{(+D)} (1 + i k_1 a) + \Phi_{(-D)} \right].$$

W granicach, w których spełniona jest nierówność

$$|\Phi_{(+D)}| \ll |i k_1 a|,$$

czyli, ze względu na /2.19/, nierówność

$$/2.32/ \quad |\Phi_{(+D)}| \ll 1,$$

poszukiwana przez nas zależność przyjmuje z dokładnością do wyrazów rzędu nie mniejszego niż $|k_1 a|$ postać:

$$/2.33/ \quad \left(\frac{k}{k_2}\right)^2 = \left\{ 1 + \frac{2\pi}{k_2^2} \int_0^{\infty} N(R) \sum_{n=0}^{\infty} [(i)^n - (-i)^n] C_n(R, k_2, K_2, k_2, K_2) dR \right\} \cdot \left\{ 1 - \frac{2\pi}{k_2^2} \int_0^{\infty} N(R) \sum_{n=0}^{\infty} [(i)^n + (-i)^n] C_n(R, k_2, K_2, k_2, K_2) dR \right\}.$$

W przypadku, gdy rozpatrujemy niejednorodne ciało stałe zakładając bezstratność zarówno niejednorodnego ciała jako całości, jak i każdej z dwu jego faz, nie potrzebujemy posługiwać się dość złożonym wzorem /2.33/, lecz możemy uzyskać znacznie prostszy wzór na moduł k wektora propagacji fali podłużnej w niejednorodnym ciele stałym. W tym celu wracamy do poprzednio opisanego eksperymentu myślowego z płytą z niejednorodnego ciała stałego, umieszczoną w nieograniczonym ośrodku wypełnionym materiałem fazy dominującej i przeprowadzimy rozumowanie podobne do tego, jakie przeprowadził K.F. Herzfeld (3) obliczając prędkość dźwięku w zawieszinach. Niech na płytę pada, tak jak poprzednio, w kierunku normalnym do jej powierzchni fala podłużna, której potencjał dany jest wzorami /2.15/ i /2.16/. Przyjmujemy w dalszym ciągu założenia /2.17a/, /2.17b/, /2.19a/, 2.19b/, a ponadto zakładamy, że w warstwie o grubości a nie zachodzi, podobnie jak i w ośrodku otaczającym - tłumienie drgań. Moduły wektorów propagacji podłużnika k_i i poprzecznika K_i , $i = 1, 2$, w fazie dominującej / $i = 1$ / i rozproszonej / $i = 2$ / są teraz liczbami rzeczywistymi i w przypadku, gdy faza rozproszona jest także ciałem stałym, wyrażają się ogólnie znanymi wzorami:

$$/2.34/ \quad k_i^2 = \frac{\omega^2 \rho_i}{\lambda_i + 2\mu_i},$$

$$/2.35/ \quad K_i^2 = \frac{\omega^2 \rho_i}{\mu_i}.$$

Moduł wektora propagacji k w tym przypadku jest również liczbą rzeczywistą i wyraża się wzorem:

$$/2.36/ \quad k^2 = \frac{\omega^2}{c^2} = \frac{\omega^2 \rho}{\lambda + 2\mu},$$

gdzie ρ /gęstość/, λ i μ /współczynniki Lamego/, c /fazowa prędkość fali podłużnej/ są stałymi materiałowymi charakteryzującymi badany ośrodek niejednorodny. Ze względu na brak dyssypacji jedynym efektem przejścia fali podłużnej przez płytkę jest przesunięcie fazowe spowodowane tym, że $c \neq c_1$. Jeżeli zatem potencjał fali podłużnej w ośrodku I ma postać funkcji

$$/2.37/ \quad \Psi_I^+ = \varphi_0 e^{i\omega \frac{z}{c_1}},$$

to w ośrodku III potencjał tej samej fali wyraża się funkcją

$$/2.38/ \quad \tilde{\Psi}_{III}^+ = \varphi_0 e^{i\omega \left(\frac{z-a}{c_1} + \frac{a}{c} \right)} = \varphi_0 e^{i\omega \frac{z}{c_1}} e^{-i\omega \left[\frac{a}{c_1} \left(1 - \frac{c_1}{c} \right) \right]}$$

Wykorzystując założenie /2.17a/ otrzymujemy stąd

$$/2.39/ \quad \tilde{\Psi}_{III}^+ = \varphi_0 \left[1 - \frac{i\omega a}{c_1} \left(1 - \frac{c_1}{c} \right) \right] e^{i\omega \frac{z}{c_1}}.$$

Z drugiej strony zgodnie z /2.29/ mamy

$$/2.40/ \quad \tilde{\Psi}_{III}^+ = [\varphi_0 + \phi_{(+D)}] e^{i\omega \frac{z}{c_1}}.$$

Po podstawieniu do /2.39/ i po uwzględnieniu /2.16/ otrzymujemy ostatecznie

$$/2.41/ \quad \frac{c}{c_1} = \frac{1}{1 - \phi_{(+D)}},$$

gdzie $\phi_{(+D)}$ jest dane wzorem /2.26/.

Obliczenia numeryczne i dyskusja

Obliczenia numeryczne przeprowadzono dla przypadku, w którym fazą dominującą jest izotropowe ciało sprężyste, a fazę rozproszoną stanowią sferyczne pustki. Obliczenia numeryczne wykonano niezależnie na podstawie wzoru /4/ z pracy (1), który ma postać:

$$/3.1/ \quad \frac{c}{c_1} = \left(\frac{1}{1-b}\right)^{1/2} \left[\frac{1-2v_2}{1-2v_2 + \frac{1}{2}b(1+v_2)} - \frac{10b(1-2v_2)}{7-5v_2 + 2(4-5v_2)b} \right],$$

gdzie

$$v_2 = \frac{\lambda_2}{2(\lambda_2 + \mu_2)}$$

jest współczynnikiem Poissona, oraz na podstawie wzorów /2.33/ i /2.41/ wyprowadzonych w naszej pracy. Zakładając, że

$$/3.2/ \quad \begin{aligned} k_2 R &\ll 1, \\ K_2 R &\ll 1, \end{aligned}$$

przyjęto współczynniki podłużnej fali rozproszonej w postaci [(5) wzory /34a/, 34b/, 34d/, /34f/] :

$$/3.3/ \quad C_0 = \frac{1}{3} \left[1 - \frac{3}{4} \left(\frac{K_2}{k_2} \right)^2 \right] \frac{1}{k_2} (k_2 R)^3,$$

$$/3.4/ \quad C_1 = -i \frac{1}{3} \frac{1}{k_2} (k_2 R)^3,$$

$$/3.5/ \quad C_2 = -\frac{15}{9} \frac{1}{1 - \frac{9}{4} \left(\frac{K_2}{k_2} \right)^2} \frac{1}{k_2} (k_2 R)^3,$$

$$/3.6/ \quad C_n = (-i)^n (4n^2 - 1) \left[\frac{2^n n!}{(2n)!} \right]^2 \frac{\frac{1}{k_2} (k_2 R)^{2n-1}}{1 - \frac{2n^2 - 1}{2n(n-1)} \left(\frac{K_2}{k_2} \right)^2},$$

$$n = 2, 3, 4, \dots$$

Z wzoru /3.5/ wynika, że wartości C_n , $n = 2, 3, 4, \dots$, szybko maleją ze wzrostem n . Dlatego też sumowanie we wzorze /2.33/ i /2.41/ urwano na wyrazach proporcjonalnych do C_2 .

Wzór /2.33/ przyjmuje wtedy postać

$$/3.7/ \quad \left(\frac{c_2}{c} \right)^2 = \left[1 + \frac{4\sqrt{3}i}{k_2^2} \int_0^\infty N(R) C_2(R, k_2, K_2) dR \right] \left\{ 1 - \frac{4\sqrt{3}}{k_2^2} \int_0^\infty [G(R, k_2, K_2) - C_2(R, k_2, K_2)] N(R) dR \right\}$$

Stąd

$$/3.8/ \quad \left(\frac{c}{c_1}\right)^2 = \frac{1}{(1+b)\left\{1 - [H(v)+1]b\right\}},$$

gdzie b jest dane wzorem /2.4/, natomiast $H(v)$ jest następującą funkcją

$$/3.9/ \quad H(v) = \frac{5 - \frac{3}{2} \left(\frac{1-v}{1-2v}\right) \left[1 - \frac{9}{2} \left(\frac{1-v}{1-2v}\right)\right]}{1 - \frac{9}{2} \left(\frac{1-v}{1-2v}\right)}, \quad 0 \leq v \leq \frac{1}{2}.$$

Funkcja H jest w przedziale $0 \leq v \leq \frac{1}{2}$ ujemna, przy czym $H(v) \rightarrow -\infty$, gdy $v \rightarrow \frac{1}{2}$, a w punkcie $v = \frac{1}{12}$ funkcja H osiąga maksimum równe $H\left(\frac{1}{12}\right) = -\frac{35}{12}$. Wykres funkcji H przedstawiono na rys. 2.

Podobnie wzór /2.41/ możemy ze względu na założenia /3.2/ napisać w postaci

$$/3.10/ \quad \frac{c}{c_1} = \frac{1}{1 - \frac{1}{2} b H(v)}.$$

Gdy $v \rightarrow \frac{1}{2}$ /faza dominująca objętościowo jest nieściśliwa/, to zgodnie z wzorami /3.1/, /3.8/ i /3.10/ $\frac{c}{c_1} \rightarrow 0$ ($c_1 \rightarrow \infty$), natomiast gdy $b \rightarrow 0$, to zgodnie z tymi wzorami $\frac{c}{c_1} \rightarrow 1$ ($c \rightarrow c_1$)

Na rysunkach 3 i 4 przedstawiono wyniki numeryczne uzyskane na podstawie wzoru /3.8/, przy czym rys. 3 przedstawia $\frac{c}{c_1}$ w funkcji v , przy parametrze b , natomiast rys. 4 przedstawia $\frac{c}{c_1}$ w funkcji b przy parametrze v . Te same obliczenia numeryczne wykonano również korzystając z wzoru /3.10/ oraz wzoru /3.1/. Ze względu na to, że wszystkie trzy wspomniane wzory dają ten sam charakter zmienności $\frac{c}{c_1}$ w funkcji v lub b , nie podajemy w naszej pracy wykresów, które byłyby uzyskanymi w oparciu o wzory /3.1/ i /3.10/ odpowiednikami krzywych przedstawionych na rys. 3 i 4, lecz podajemy tylko na rys. 5 względne różnice $\Delta\left(\frac{c}{c_1}\right)/\frac{c}{c_1}$ pomiędzy wynikami uzyskanymi za pomocą wzoru /3.1/ /wartość odniesienia/ oraz za pomocą wzorów /3.8/ /krzywe ciągłe/ i /3.10/ /krzywe

przerywane/. Dla danych v_1 i b wzór /3.1/ daje największe wartości $\frac{\xi}{\xi_1}$, natomiast wzór /3.10/ daje wartości najmniejsze. Podobną ilościowo zgodność wykazują uzyskane przez nas wyniki numeryczne z wynikami pracy (7). Z wykresów przedstawionych na rys. 5 widać, że im mniejsze jest b , tym lepsza jest zgodność wyników uzyskanych za pomocą wzoru /3.1/ oraz wzorów /3.8/ i /3.10/, a w granicy $b \rightarrow 0$ uzyskujemy zgodność całkowitą $\frac{\xi}{\xi_1} \rightarrow 1$ /. Jest to zgodne z tym, że im mniejsze jest b , tym lepszym przybliżeniem rzeczywistego rozpraszania jest pojedyncze rozpraszanie i tym lepszym przybliżeniem amplitudy potencjału płaskiej fali odbitej φ_2 i przepuszczonej przez płytę φ_3 są amplitudy wyliczone odpowiednio za pomocą wzorów /2.28/ i /2.29/.

Określimy jeszcze zakres wartości b i v_1 , w którym są spełnione nierówności /2.17a/ i /2.32/. W tym celu wykazemy najpierw, że spełnienie nierówności /2.32/ pociąga za sobą ze względu na /2.16/ i /2.19a/ spełnienie warunku /2.17a/.

W rozpatrywanym przez nas przypadku /3.2/ wzory /2.26/ i /2.27/ przyjmują postać

$$/3.11/ \quad \varphi_{(+D)} = \frac{1}{2} b H(v),$$

$$/3.12/ \quad \varphi_{(-D)} = \varphi_{(+D)} + b$$

Założenie /2.17a/ zapiszemy teraz w postaci

$$/3.13/ \quad |\varphi_{(+D)} + b|^2 |k_2 a|^2 \ll 1,$$

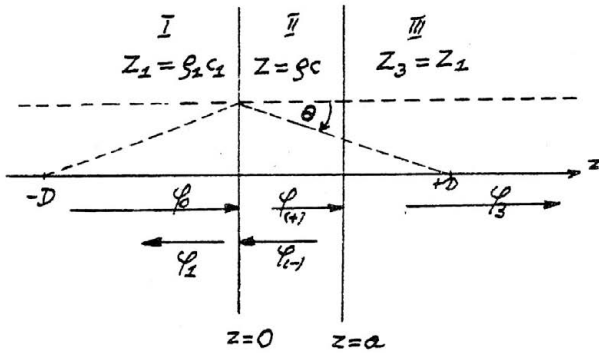
czyli po uwzględnieniu /2.19/

$$/3.14/ \quad |\varphi_{(+D)} + b| \leq 1.$$

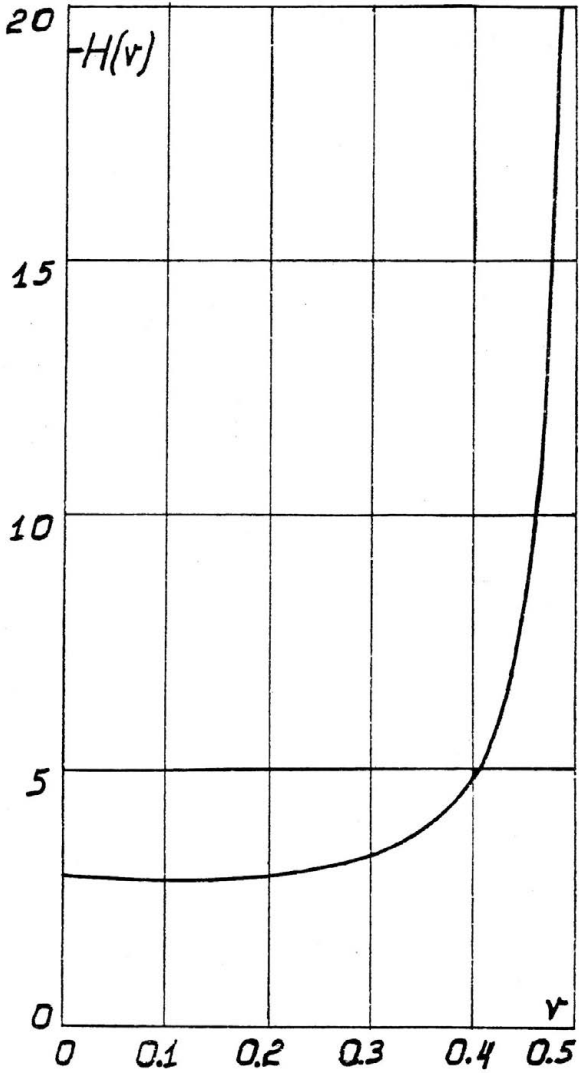
Ponieważ zgodnie z /3.11/ $b < |\varphi_{(+D)}|$, zatem spełnienie założenia /2.32/ pociąga za sobą spełnienie warunku /3.14/, a więc założenia /2.17a/. Nierówność /2.32/ zapiszemy teraz w postaci

$$/3.15/ \quad -\frac{1}{2} b H(\psi) \ll 1.$$

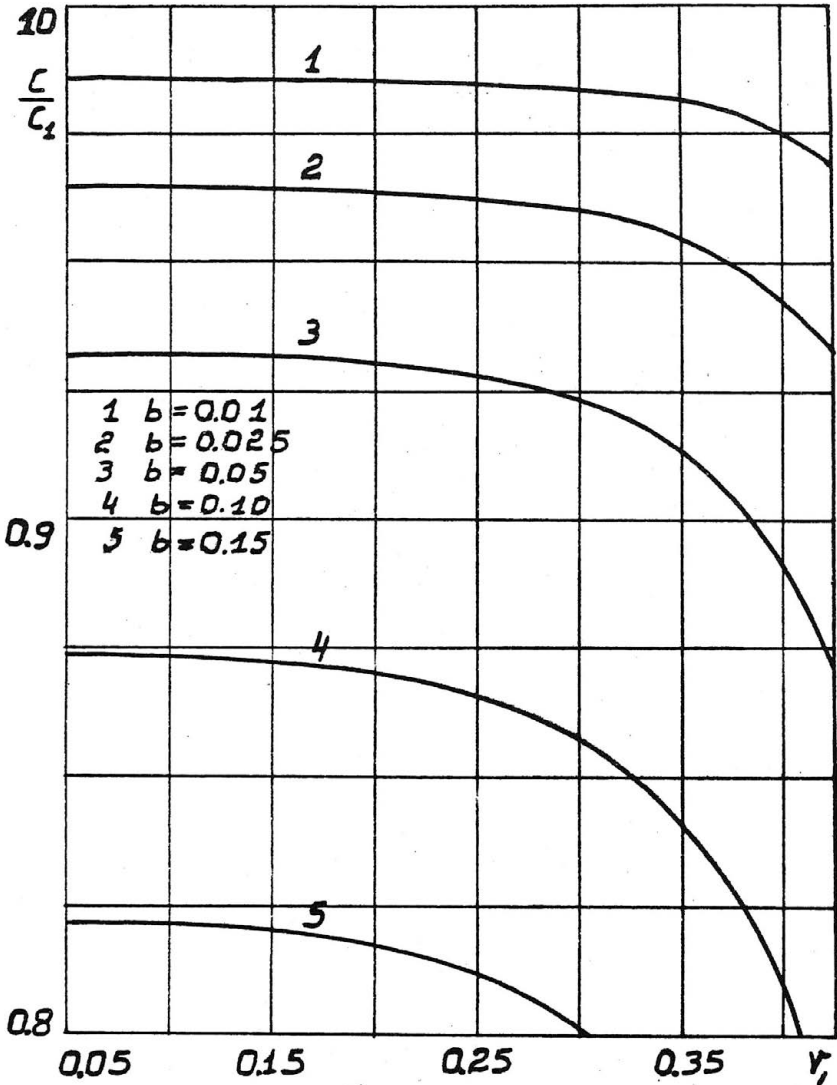
Nierówność ta określa zakres wartości b i ψ , w którym jest spełnione założenie /2.32/. Wykres funkcji $H(\psi)$ przedstawiony na rys. 2 pozwala w każdym konkretnym przypadku ustalić dla danego ψ i b , czy nierówność /3.15/ jest spełniona.



Rys.1.



Rys.2.



Rys. 5.

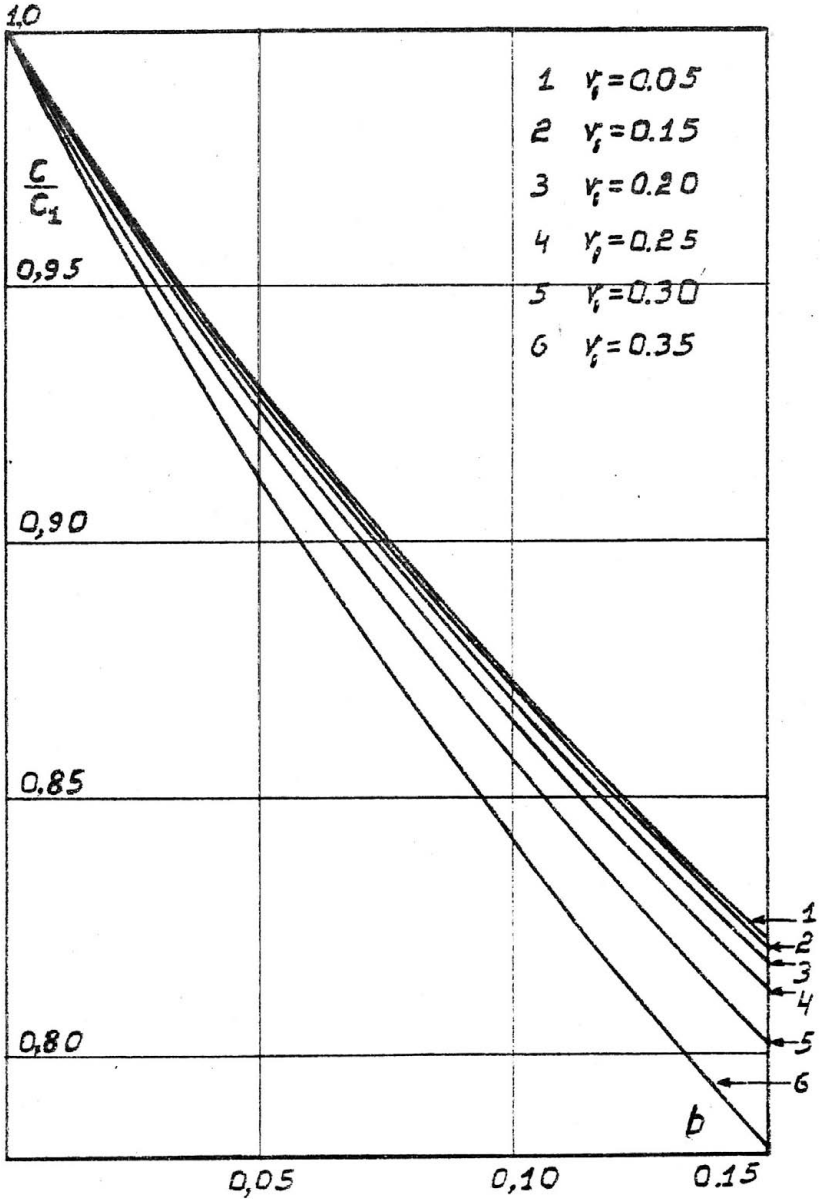
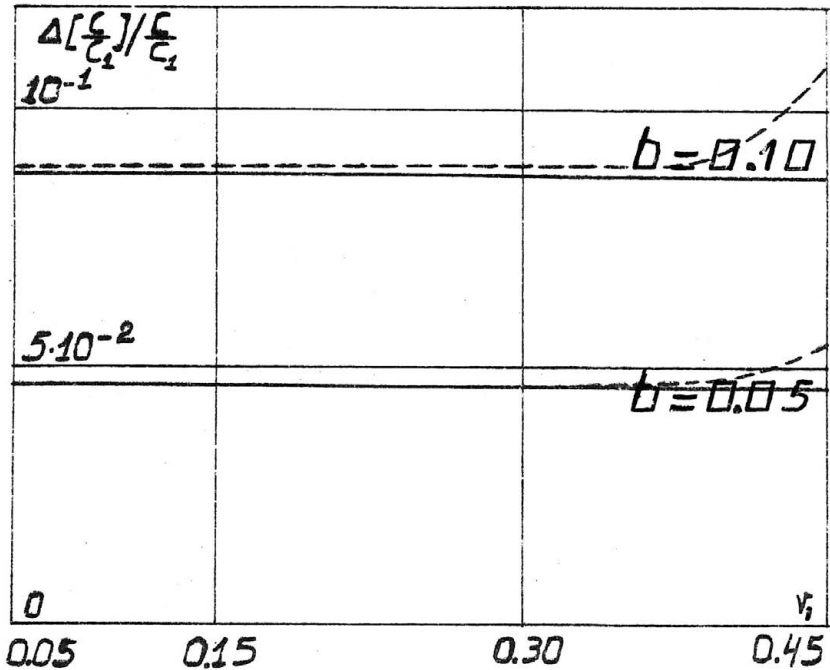


Fig. 4



————— względna różnica pomiędzy wynikami uzyskanymi
za pomocą wzorów /3.1/ i /3.8/,
- - - - - względna różnica pomiędzy wynikami uzyskanymi
za pomocą wzorów /3.1/ i /3.10/.

Rys.5.

L i t e r a t u r a

- (1) C.Sve, "Elastic Wave Propagation in a Porous Laminated Composite", Internal Journal of Solids and Structures, Vol.9, No 8, str. 937-950, 1973.
- (2) K.F. Herzfeld, "The Scattering of Sound-Waves by Small Elastic Spheres", Phil.Mag. and Journ of Sci., Vol. IX, seventh series, str. 741-752, 1930.
- (3) K.F. Herzfeld, "Propagation of Sound in Suspensions", Phil.Mag. and Journ of Sci., Vol.9, seventh series, str. 752-768.
- (4) R.J. Ament, W.S. Urick, "The Propagation of Sound in Composite Media", Journ.Aconst.Soc.of Amer., Vol. 21, 2, 115-119, 1949.
- (5) C.F. Ying, Rohn Truell "Scattering of a Plane Longitudinal Wave by a Spherical Obstacle in an Isotropically Elastic Solid", Journ. of Appl.Phys., Vol. 27. No 9, str. 1086-1097, 1956.
- (6) L.Landau i E.Lifsztic "Mechanika ośrodków ciągłych", PWN, Warszawa 1958.
- (7) J. Ranachowski, "Propagation of ultrasonic waves in porous ceramics", Ultrasonics, September 1975, str. 203-207

Spis treści

	str.
1. W s t ę p	3
2. Propagacja fal sprężystych w niejednorodnym ciele stałym	5
3. Obliczenia numeryczne i dyskusja	13
5. Literatura	22